

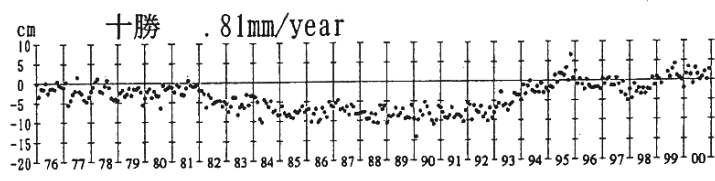
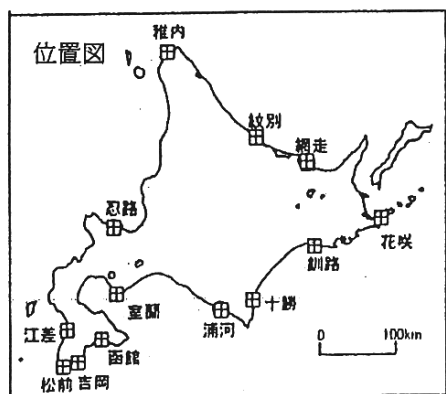
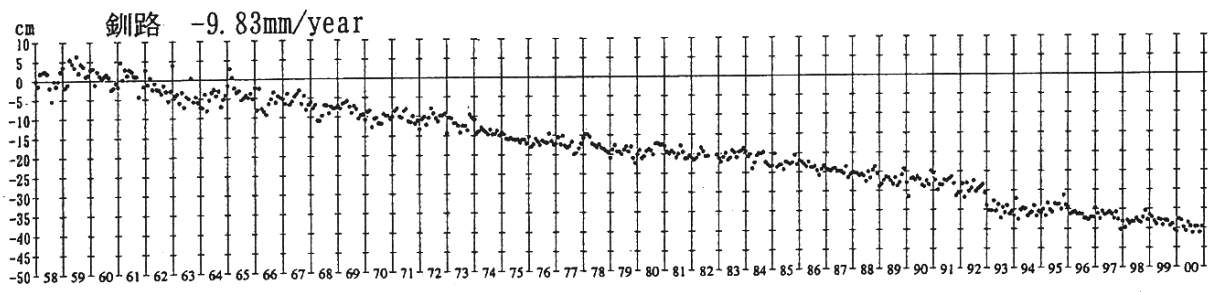
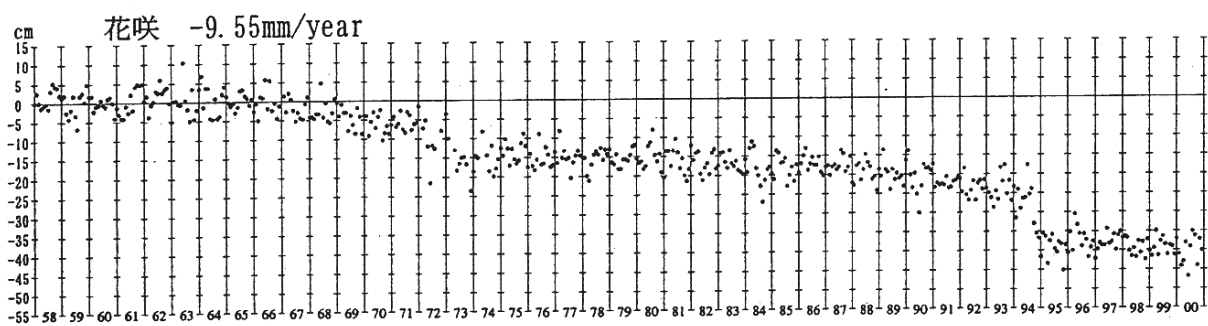
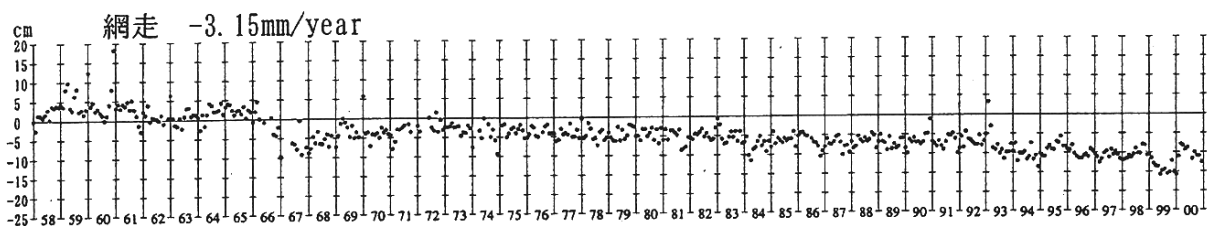
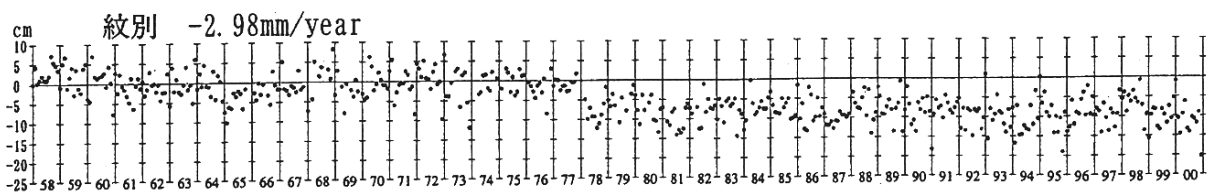
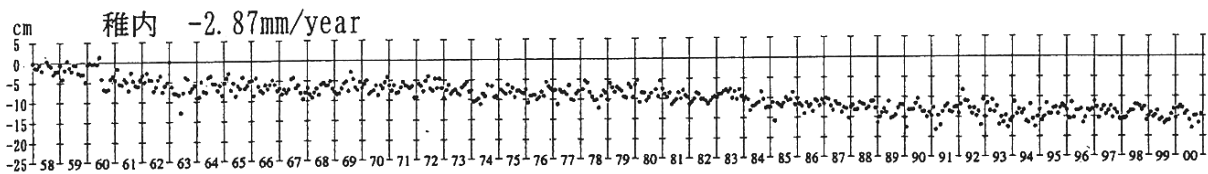
10 - 7 全国驗潮連続観測結果

Results of the Continuous tidal observations all over Japan

国土地理院

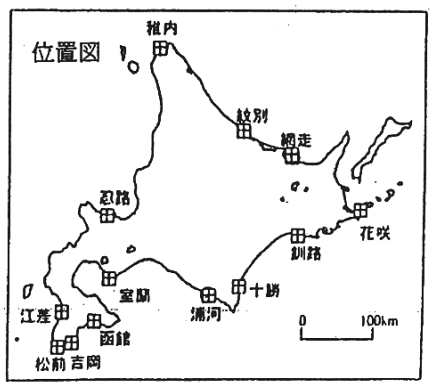
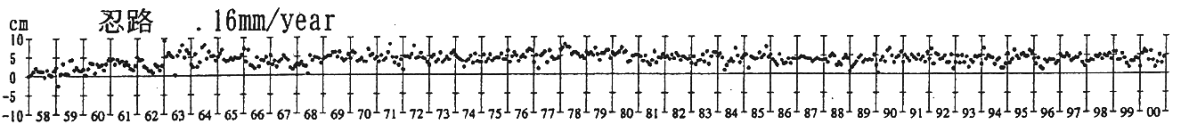
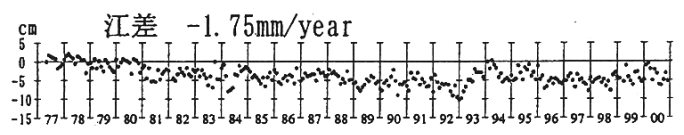
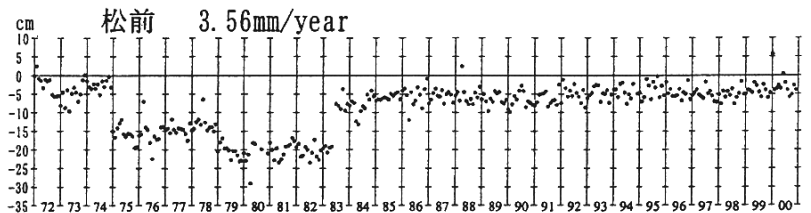
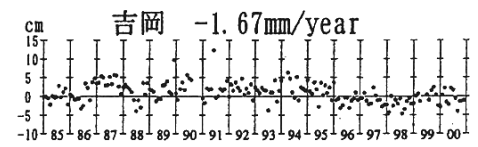
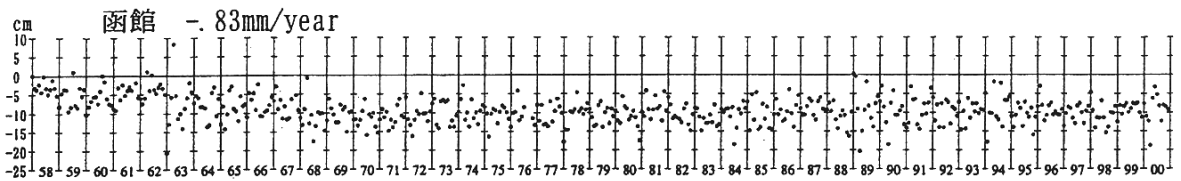
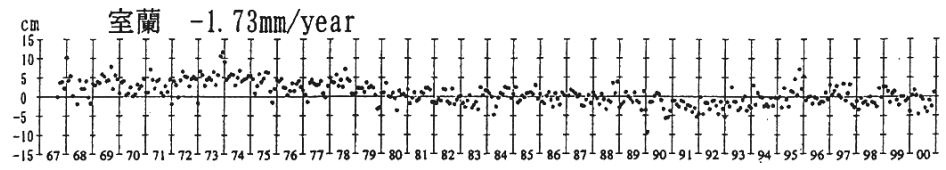
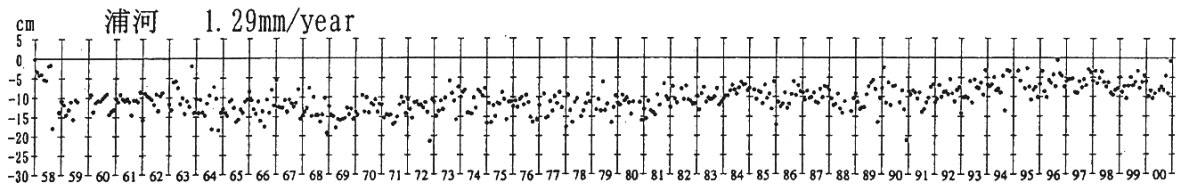
Geographical Survey Institute

第1図-(1)~(15)は、加藤・津村の方法による各驗潮場の上下変動である。従来の傾向に比べて最近傾向が変化したものとしては、伊豆半島東部の伊東で1998年頃からそれまで続いてきた隆起の傾向が収まったことが指摘される。1998年以後地震活動も静穏であることと符合している。



第1図-(1) 加藤・津村(1979)の方法により求めた験潮場の上下変動(1)

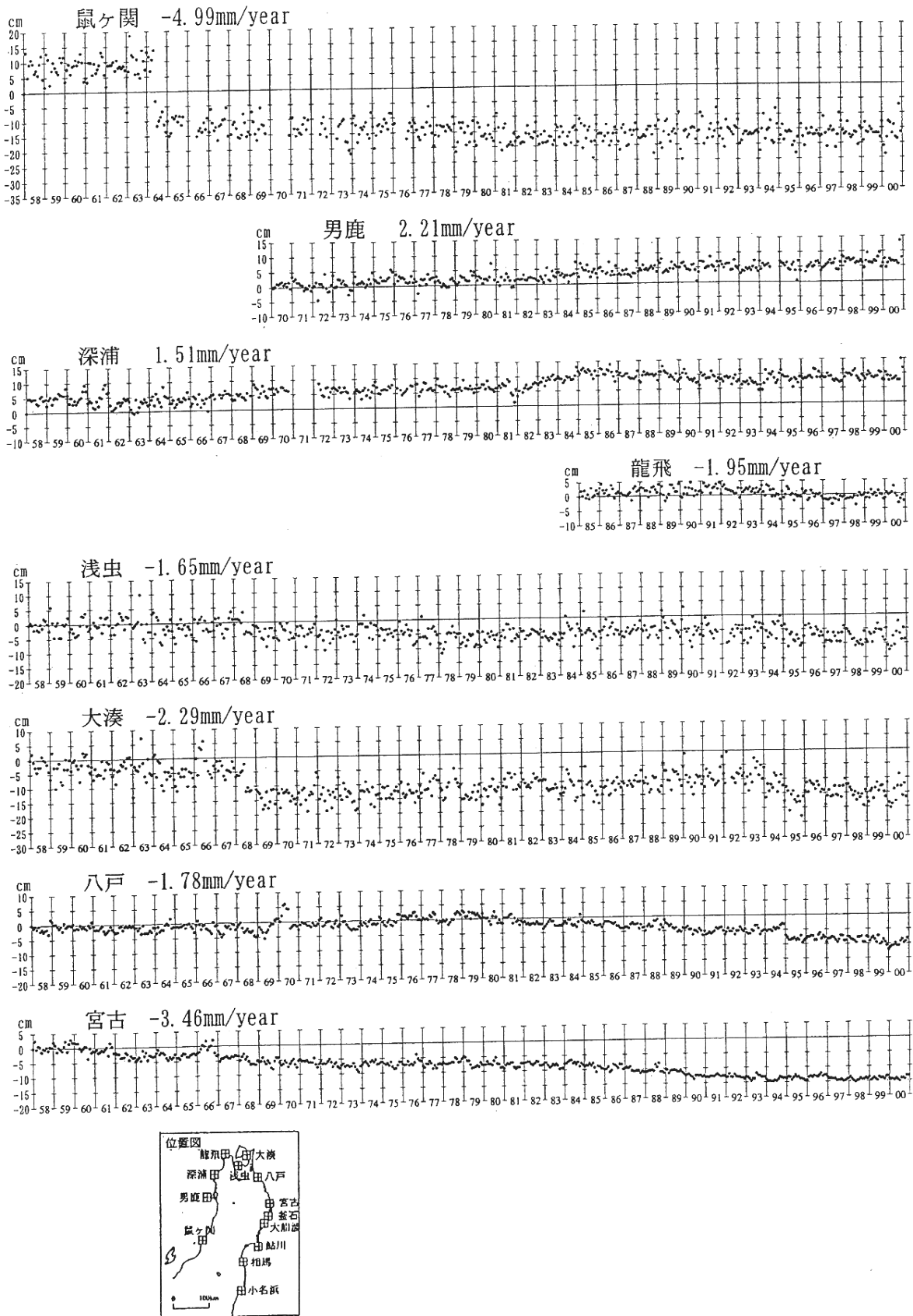
Fig.1-(1) Vertical movements of the tide stations derived with the method by Kato and Tsumura(1979)
(1 of 15).



第1図-(2) 加藤・津村(1979)の方法により求めた験潮場の上下変動(2)

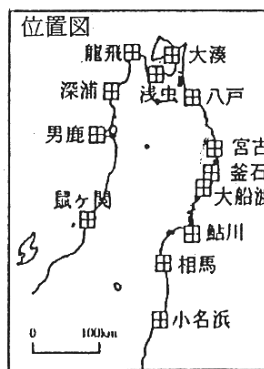
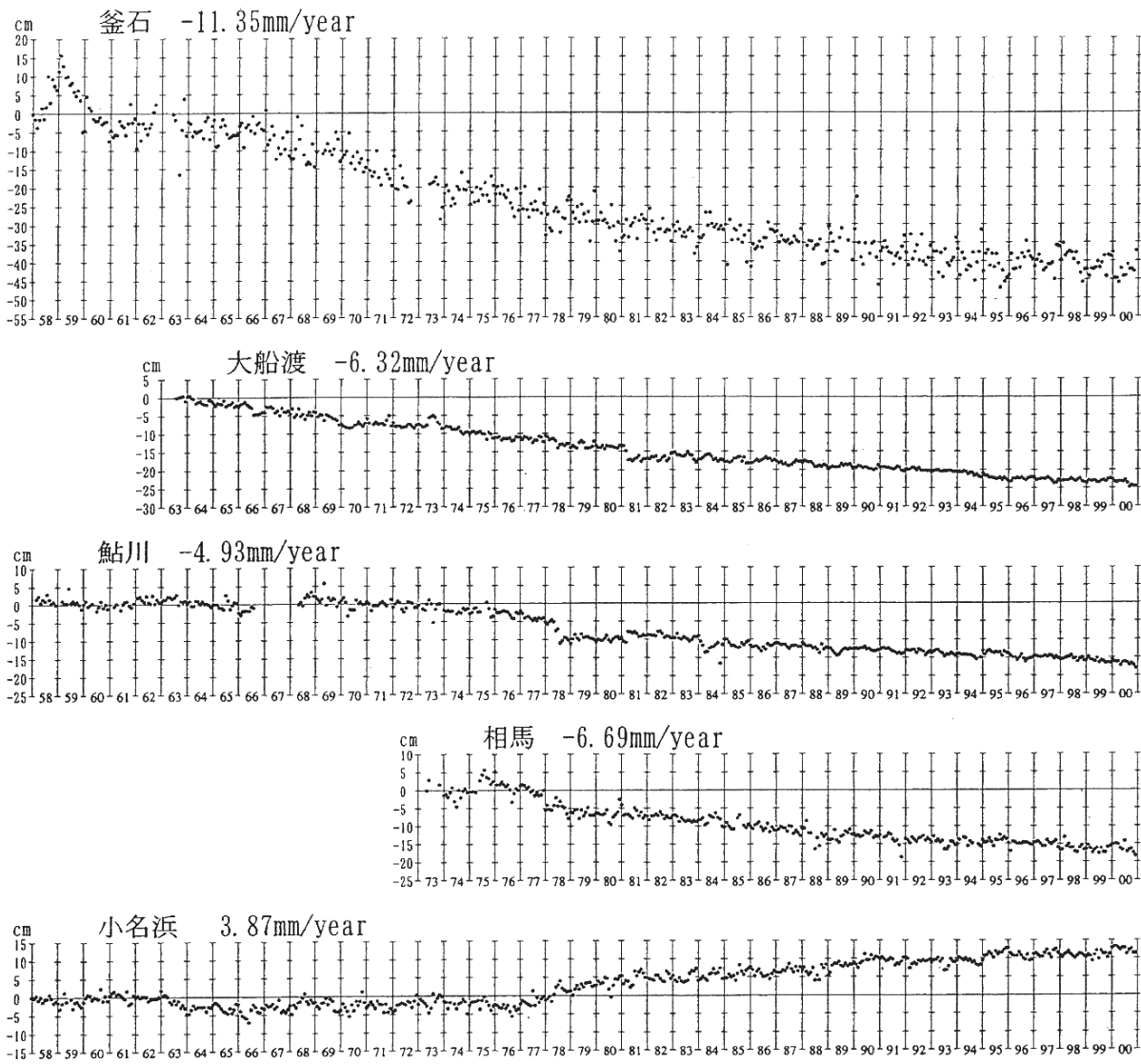
Fig.1-(2) Vertical movements of the tide stations derived with the method by Kato and Tsumura(1979)

(2 of 15).



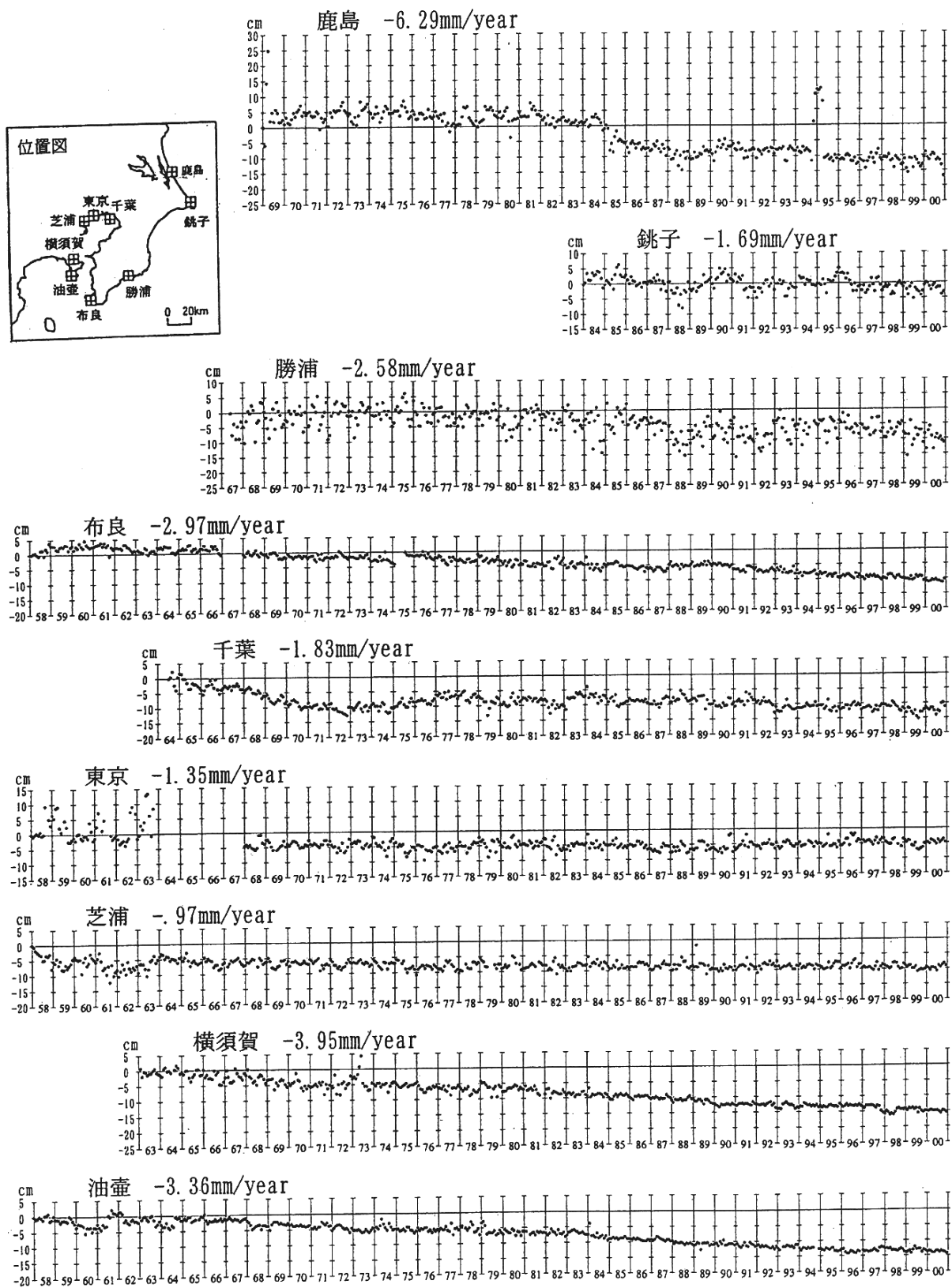
第1図-(3) 加藤・津村(1979)の方法により求めた験潮場の上下変動(3)

Fig.1-(3) Vertical movements of the tide stations derived with the method by Kato and Tsumura(1979)
(3 of 15).



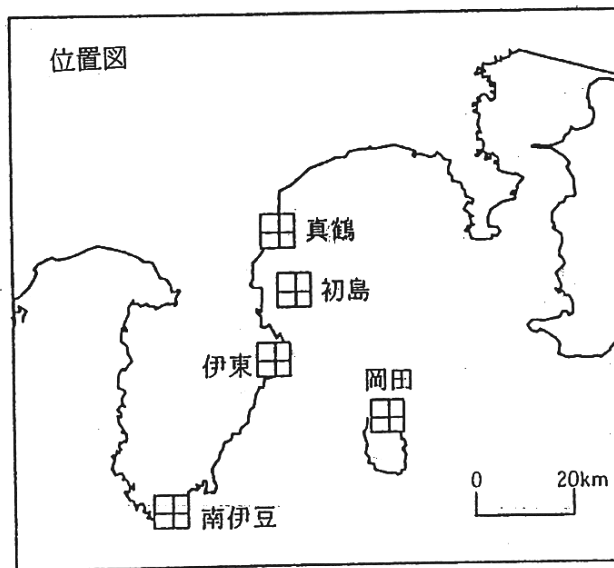
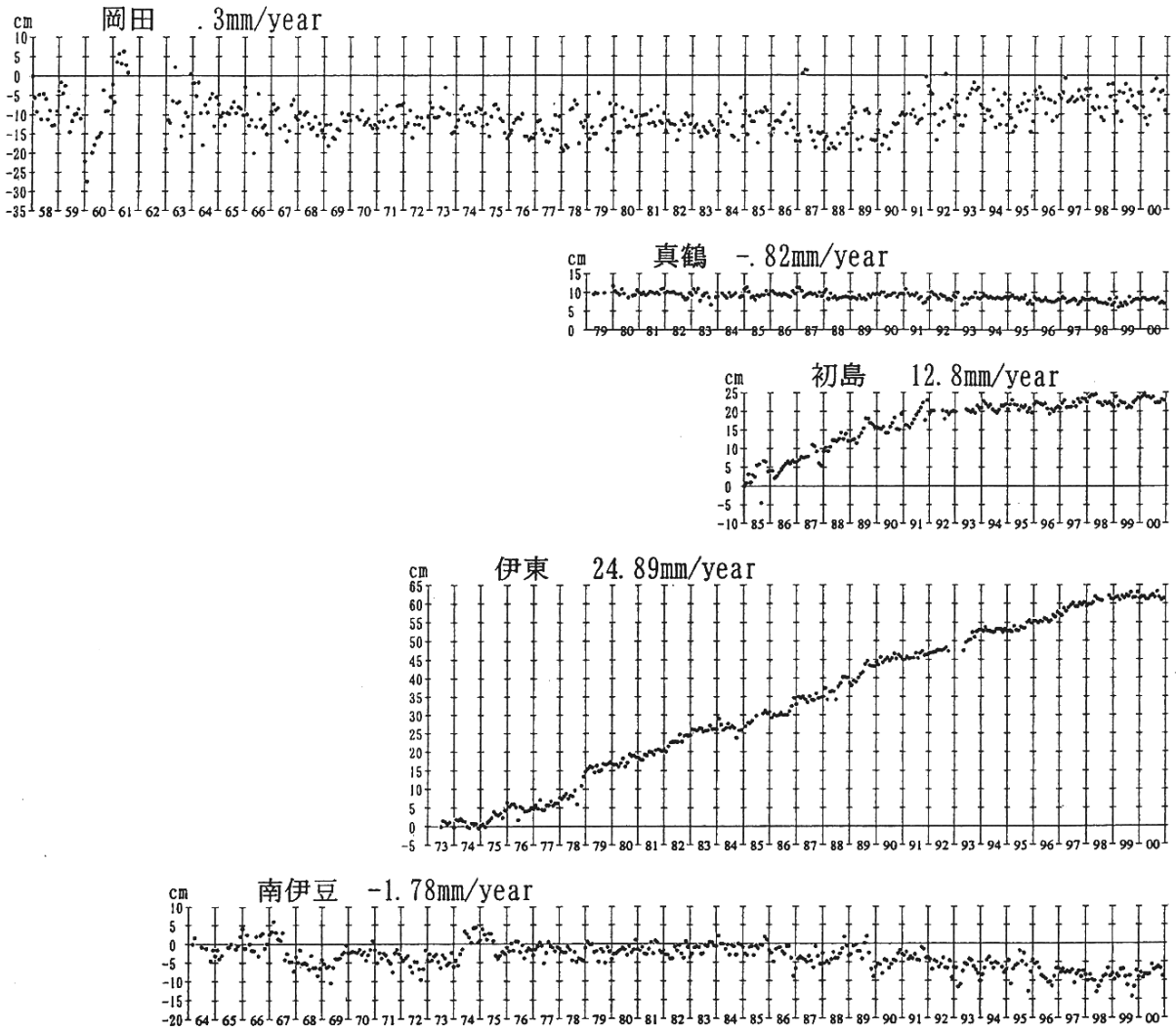
第1図-(4) 加藤・津村(1979)の方法により求めた験潮場の上下変動(4)

Fig.1-(4) Vertical movements of the tide stations derived with the method by Kato and Tsumura(1979)
(4 of 15).



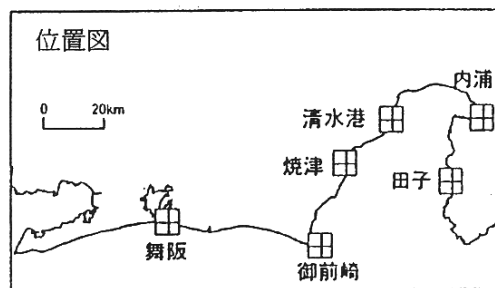
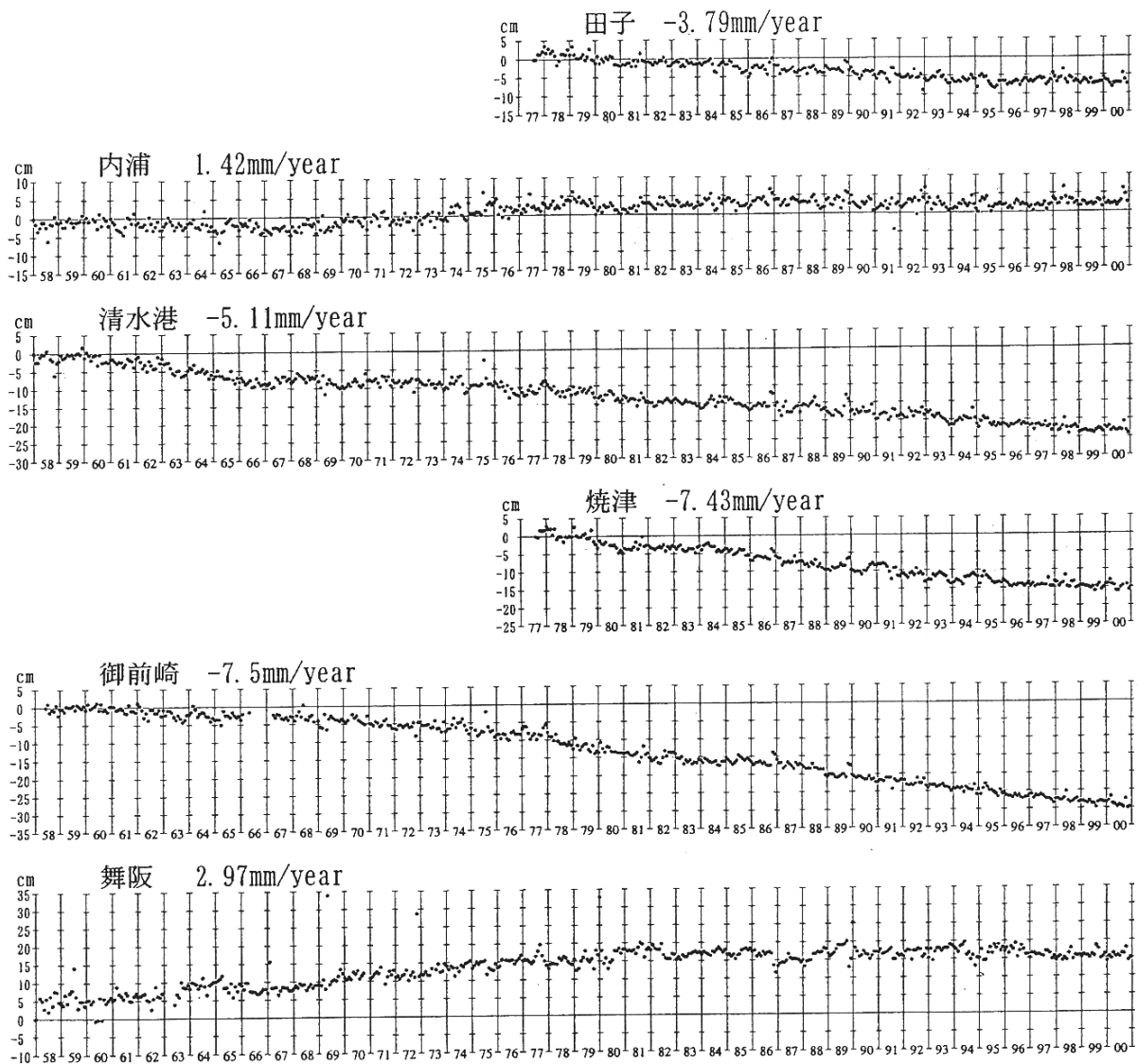
第1図-(5) 加藤・津村(1979)の方法により求めた験潮場の上下変動(5)

Fig.1-(5) Vertical movements of the tide stations derived with the method by Kato and Tsumura(1979)
(5 of 15).



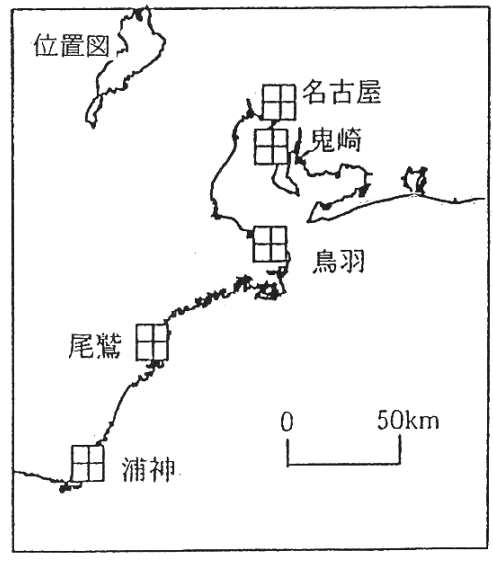
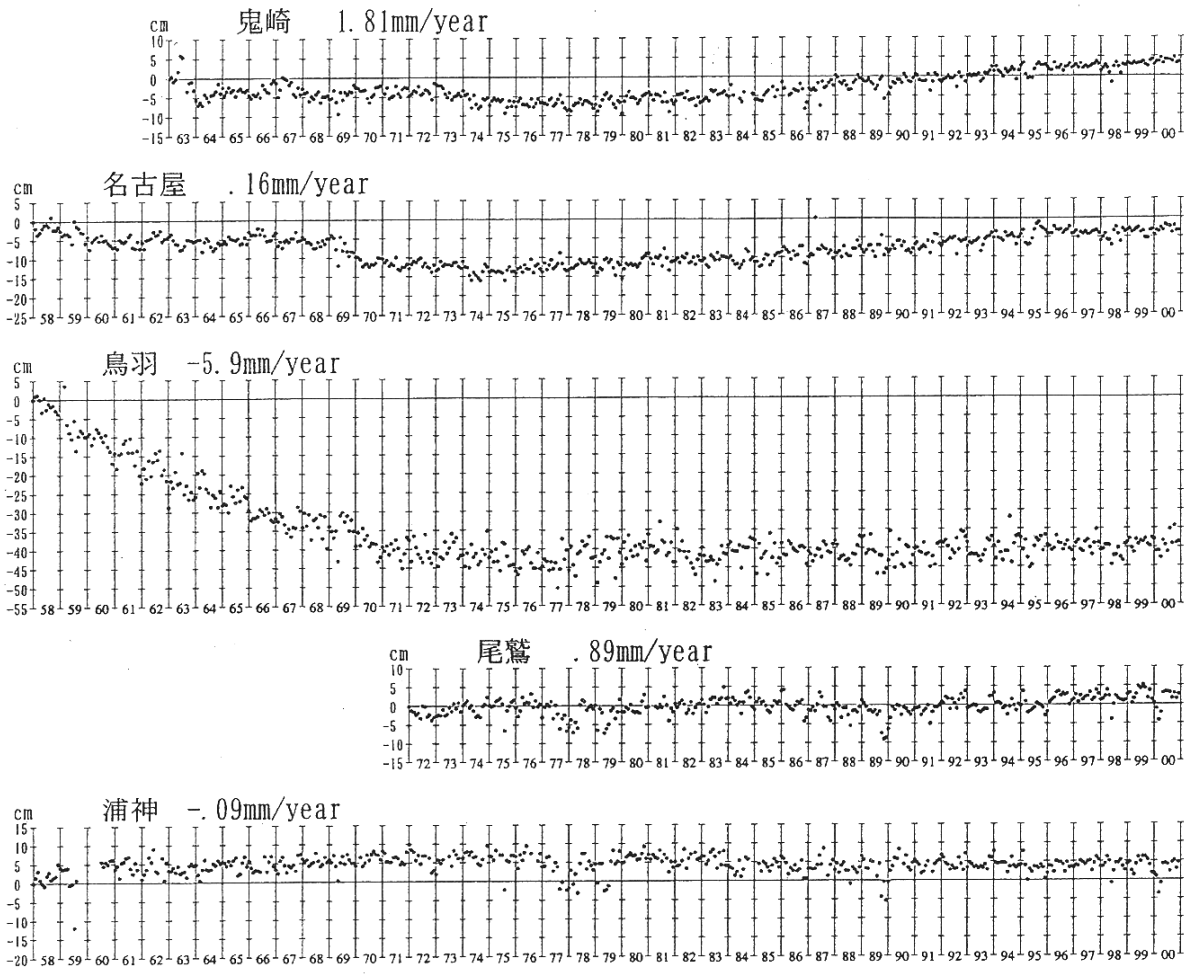
第1図-(6) 加藤・津村(1979)の方法により求めた験潮場の上下変動(6)

Fig.1-(6) Vertical movements of the tide stations derived with the method by Kato and Tsumura(1979)
(6 of 15).



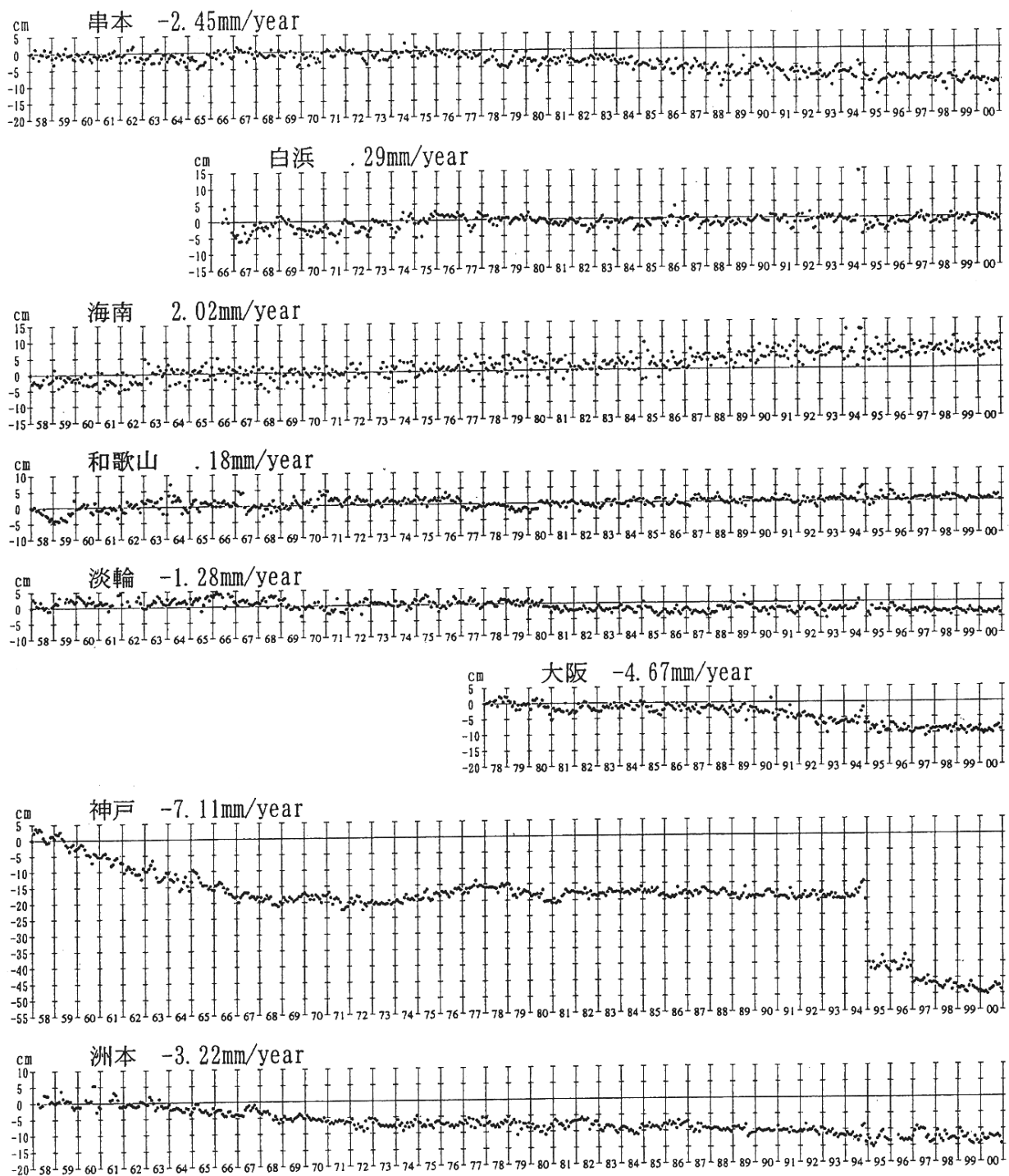
第1図-(7) 加藤・津村(1979)の方法により求めた験潮場の上下変動(7)

Fig.1-(7) Vertical movements of the tide stations derived with the method by Kato and Tsumura(1979)
(7 of 15).



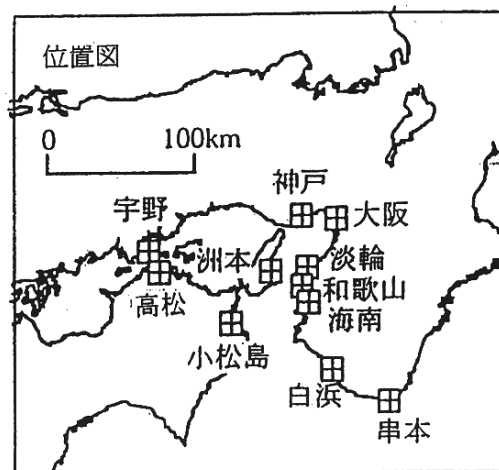
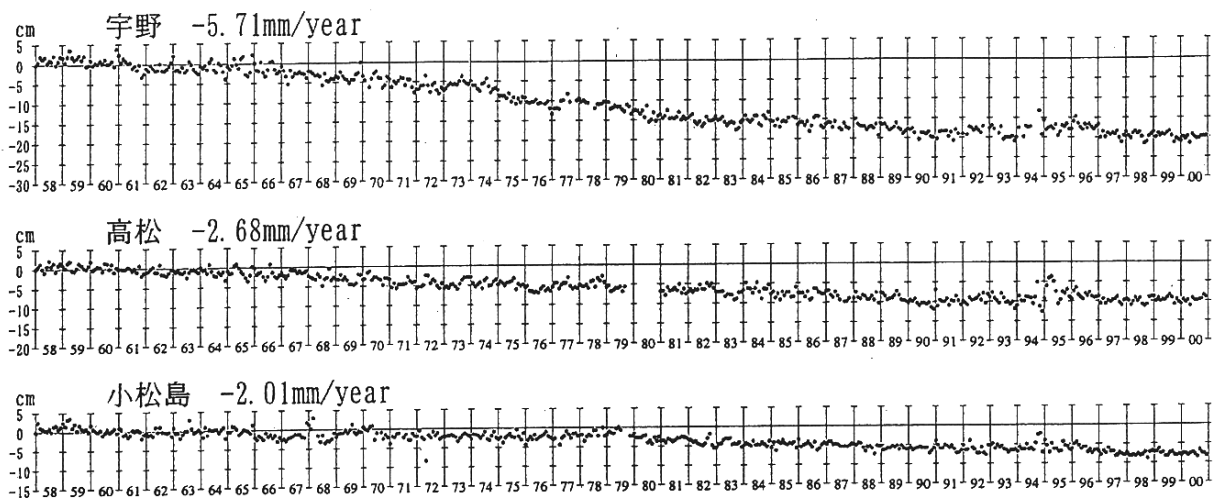
第1図-(8) 加藤・津村(1979)の方法により求めた験潮場の上下変動(8)

Fig.1-(8) Vertical movements of the tide stations derived with the method by Kato and Tsumura(1979) (8 of 15).



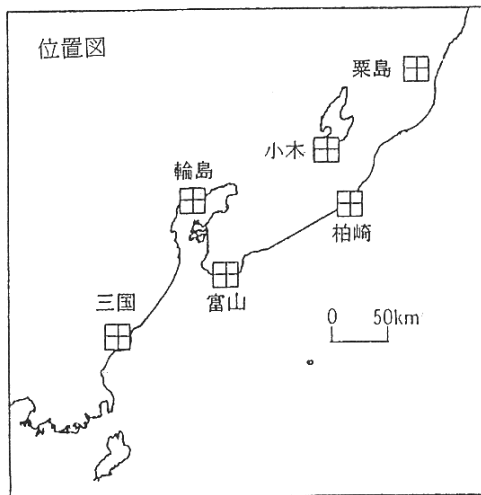
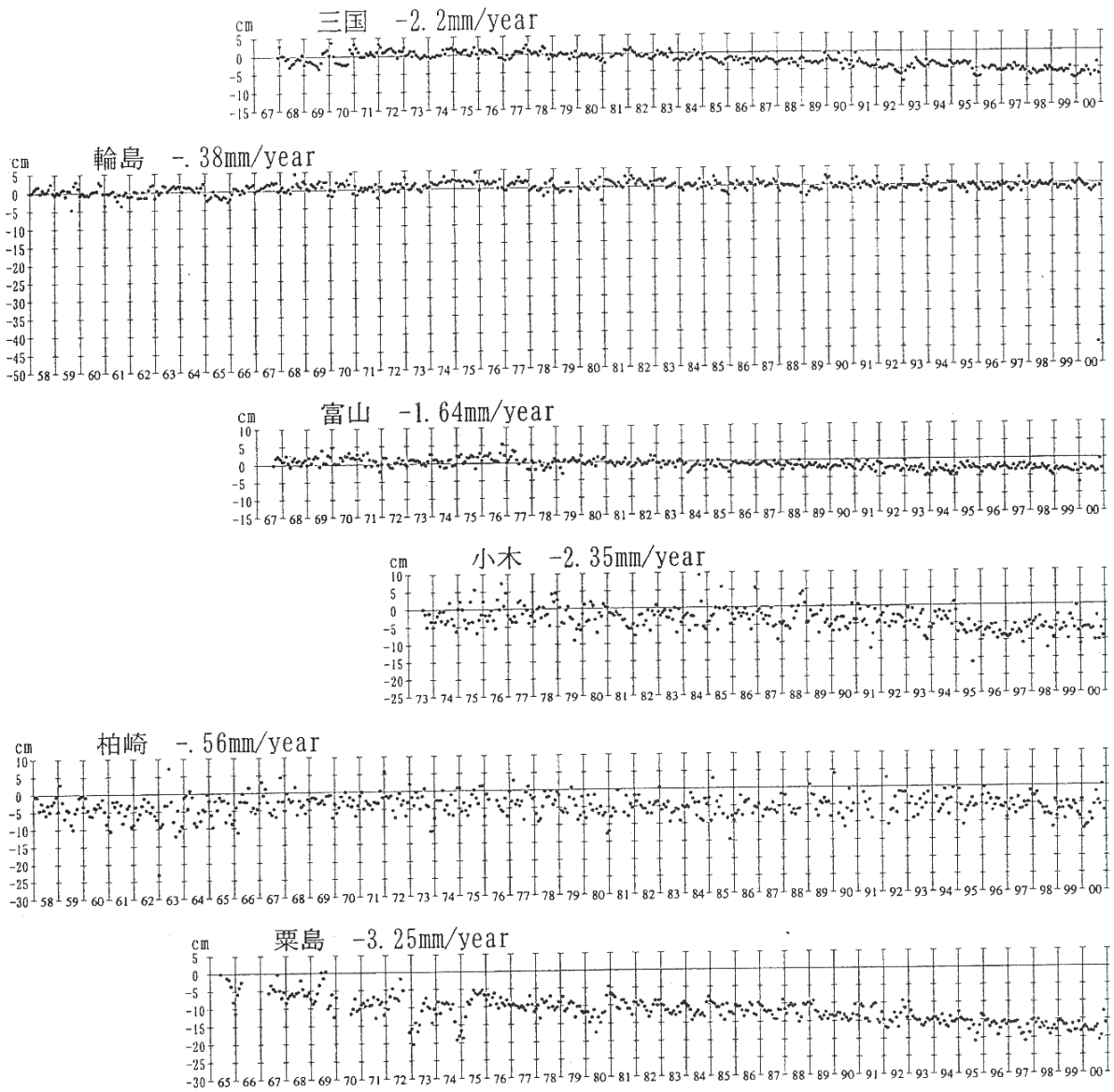
第1図-(9) 加藤・津村(1979)の方法により求めた験潮場の上下変動(9)

Fig.1-(9) Vertical movements of the tide stations derived with the method by Kato and Tsumura(1979)
(9 of 15).



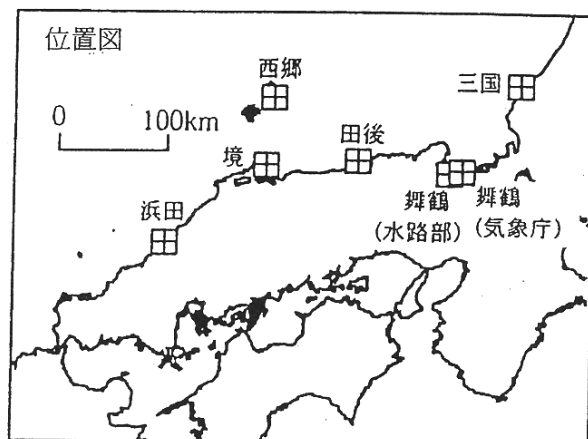
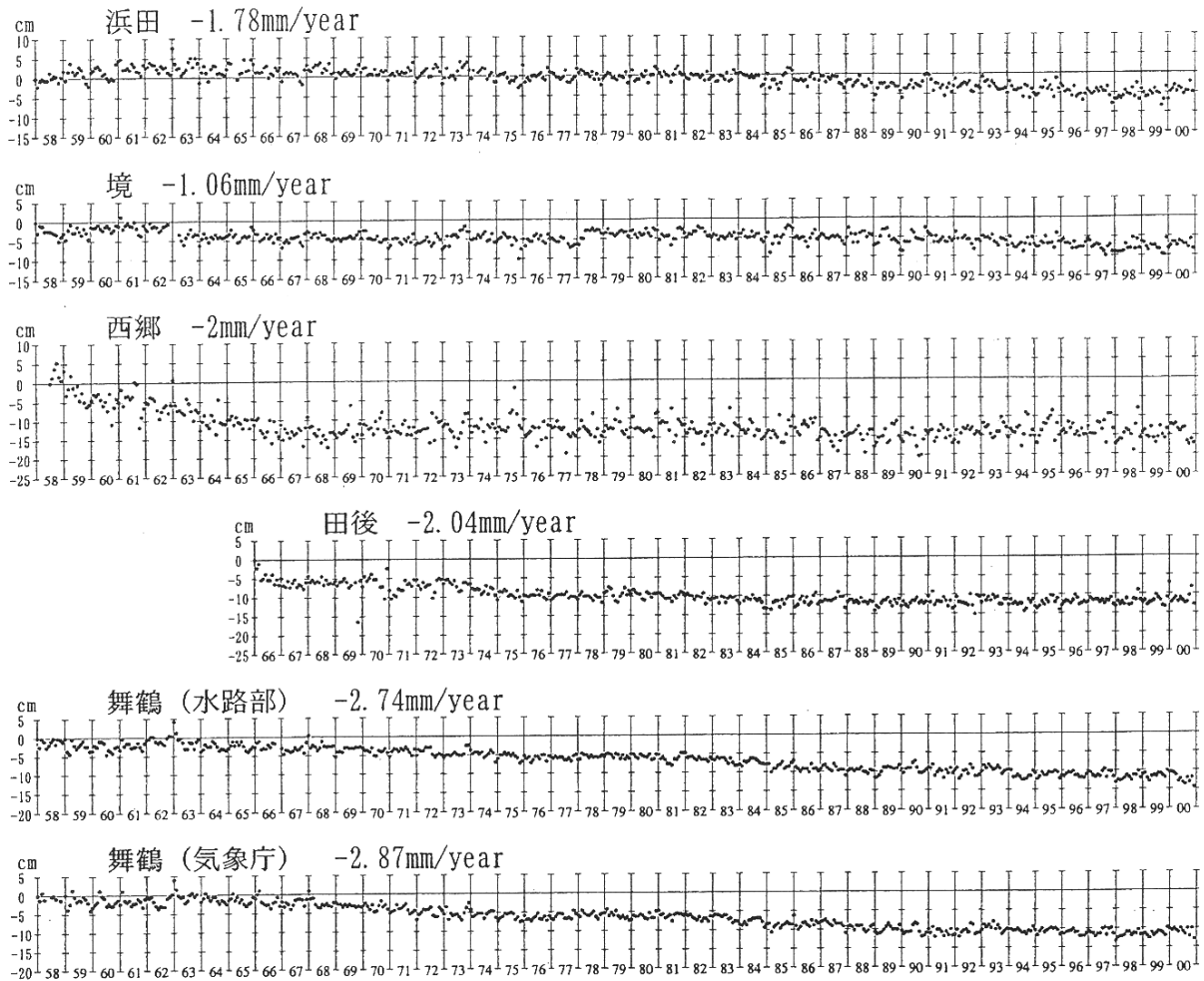
第1図-(10) 加藤・津村(1979)の方法により求めた験潮場の上下変動(10)

Fig.1-(10) Vertical movements of the tide stations derived with the method by Kato and Tsumura(1979)
(10 of 15).



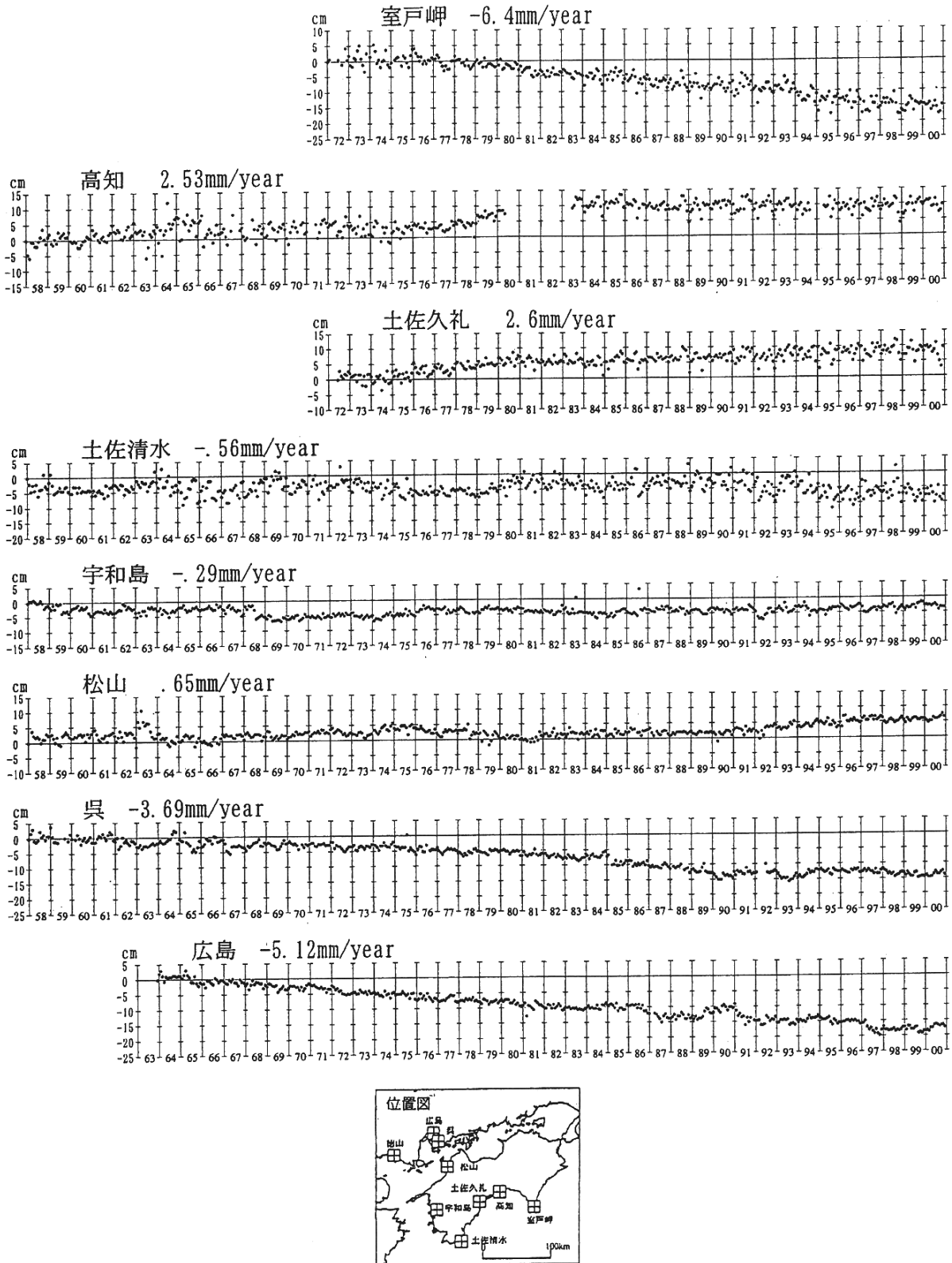
第1図-(11) 加藤・津村(1979)の方法により求めた験潮場の上下変動(11)

Fig.1-(11) Vertical movements of the tide stations derived with the method by Kato and Tsumura(1979)
(11 of 15).



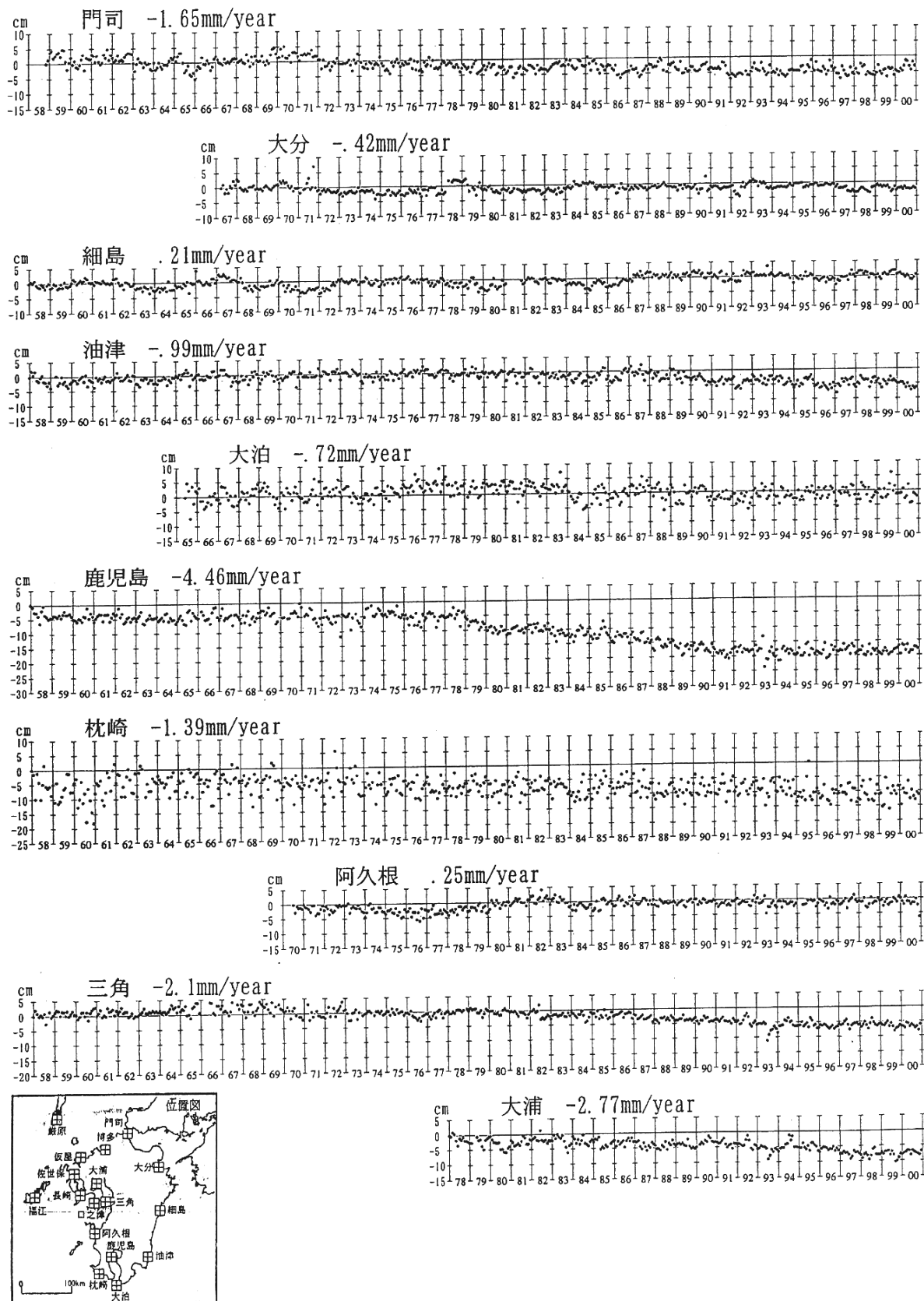
第1図-(12) 加藤・津村(1979)の方法により求めた験潮場の上下変動(12)

Fig.1-(12) Vertical movements of the tide stations derived with the method by Kato and Tsumura(1979)
(12 of 15).



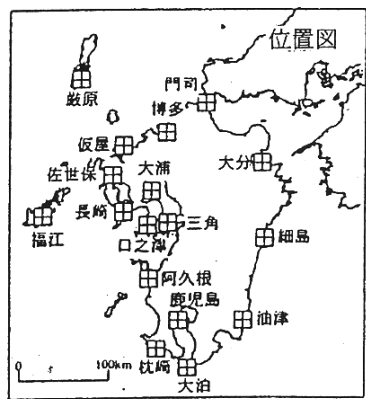
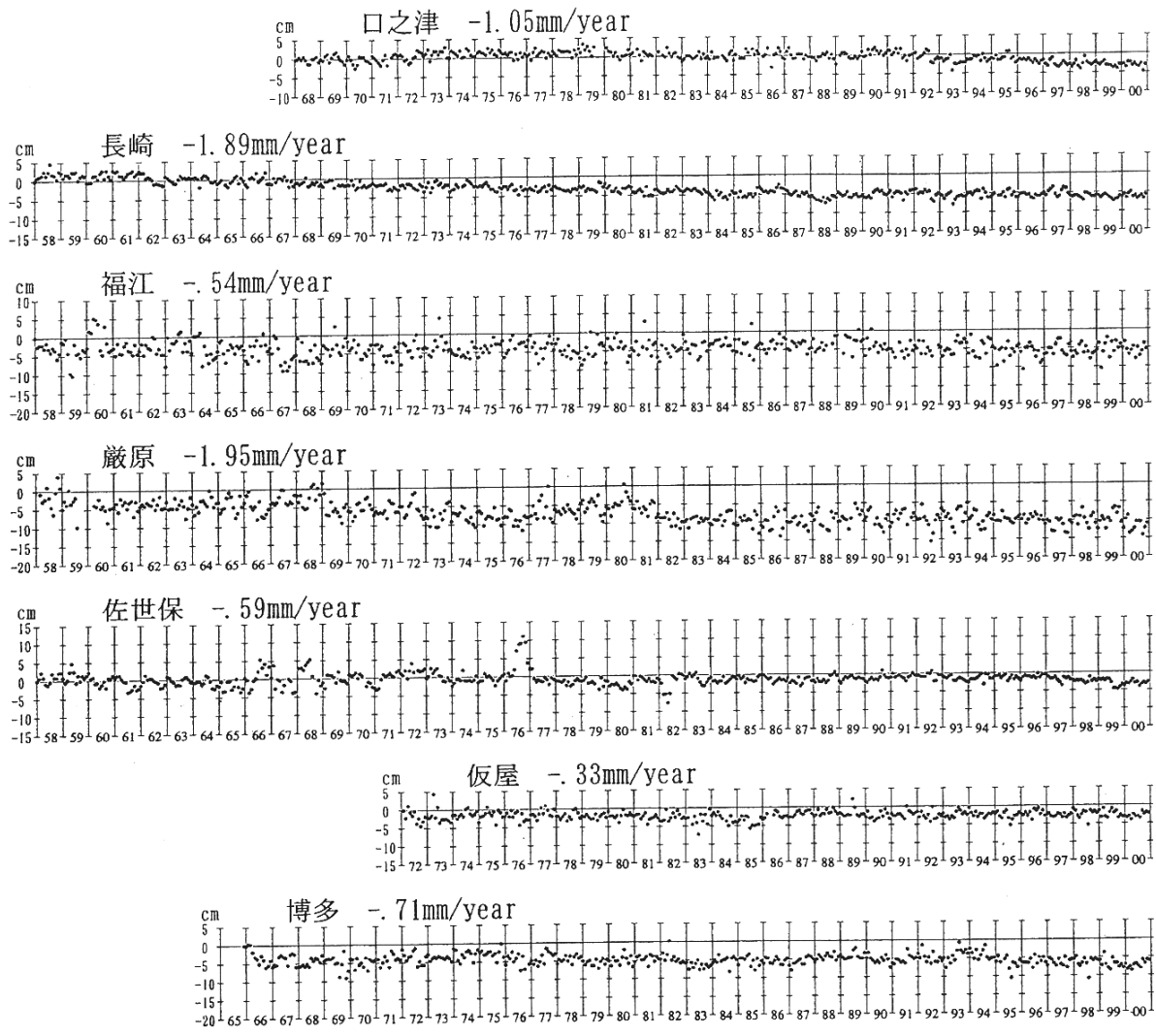
第1図-(13) 加藤・津村(1979)の方法により求めた験潮場の上下変動(13)

Fig.1-(13) Vertical movements of the tide stations derived with the method by Kato and Tsumura(1979)
(13 of 15).



第1図-(14) 加藤・津村(1979)の方法により求めた験潮場の上下変動(14)

Fig.1-(14) Vertical movements of the tide stations derived with the method by Kato and Tsumura(1979)
(14 of 15).



第1図-(15) 加藤・津村(1979)の方法により求めた験潮場の上下変動(15)

Fig.1-(15) Vertical movements of the tide stations derived with the method by Kato and Tsumura(1979) (15 of 15).